

Séance 1

Mise à niveau contours actifs

1) Problème

Dans une image monochrome $I: [0,1]^2 \rightarrow [0,1]$
(en pratique de $[0,w] \times [0,h] \rightarrow [0,255]$)

les contours d'un objet ont un fort gradient:

$$\| \nabla I \| \text{ élevé}$$

2) Seuillage par hystérésis

(a) - Débruiter l'image, par exemple en convoluant avec une gaussienne (en pratique, appliquer le noyau $\frac{1}{16} \begin{pmatrix} 1 & 2 & 1 \\ 2 & 4 & 2 \\ 1 & 2 & 1 \end{pmatrix}$)

(b) - Calculer les dérivées par différence finie
(appliquer $(-\frac{1}{2} \ 0 \ \frac{1}{2})$ pour $I_x = \frac{\partial I}{\partial x}, \dots$)

NB: On réalise (a) et (b) en même tps avec par exemple Sobel $\begin{pmatrix} -1 & 0 & 1 \\ -2 & 0 & 2 \\ -1 & 0 & 1 \end{pmatrix}$. Mieux on utilise des filtres récursifs (Deriche) implémentant rapidement et exactement des filtres "optimaux" c'est-à-dire adaptés à un profil idéal de contour (Canny)

(c) Calculer $\| \nabla I \|^2$

(d) NMS: ne conserver dans la suite que les points max. dans la direction du gradient. $\underbrace{\text{de } \| \nabla I \|^2}$

(e) Choisir deux seuils $s_1 > s_2$ et:

- extraire les points tq $\| \nabla I \|^2 > s_1$ (graine)

- extraire les points de $\| \nabla I \|^2 > s_2$ reliés aux grains par d'autres points de $\| \nabla I \|^2 > s_2$

3) Snakes

Inconvénient de la méthode précédente: pas d'information globale sur le bord d'un objet (des contours à l'intérieur, pas de contour complet au bord, etc...)

→ on modélise maintenant un contour comme une courbe $C: [0,1] \rightarrow [0,1]^2$ dépendant de paramètres $(d_i)_{1 \leq i \leq N}$ (en pratique, B-spline) et on cherche:

$$\max_{(d_i)} E(c) \text{ avec } \boxed{E(c) = \int \|\nabla I(c(p))\| dp + \text{lissage}}$$

(en général, lissage = $\int \|c'\|$ ou $\int \|c''\|$)

→ on obtient ce maximum par descente de gradient

→ Problèmes: 1) Non intrinsèque (dépend de la forme de C mais aussi de la paramétrisation p)
2) Minima locaux → commencer la desc. de gradient près de la solution.

4) Contours actifs

$C(p)$ est maintenant fermé ($C(0) = C(1)$) et ne dépend plus de paramètres (d_i) . On minimise $E(c)$

avec $\boxed{E(c) = \int g(\|\nabla I(c(p))\|) d\sigma(p)}$

avec g f° positive décroissante (par ex $\frac{1}{1+c_1^2}$)

σ = abscisse curviligne de C

La descente de gradient devient:

$$\begin{cases} C(p, 0) = C^0(p) \\ \frac{\partial C}{\partial t}(p, t) = -\nabla_C E(c)(p, t) \end{cases}$$

4.1) Gradient de forme

Soit $\vec{w}(p)$ un champ de vecteurs défini sur $C(p)$

$$\text{alors } D_{\vec{w}} = \lim_{\lambda \rightarrow 0} \frac{E(C(p) + \lambda \vec{w}(p)) - E(C(p))}{\lambda}$$

(Dérivée de Gâteaux)

Le gradient de E en C est le champ $\nabla_C E$ tel que:

$$\forall \vec{w}, D_{\vec{w}} = \langle \nabla_C E | \vec{w} \rangle$$

$$\text{avec } \langle \vec{u} | \vec{v} \rangle = \int_C \vec{u} \cdot \vec{v} \, dp$$

Exemples

• Si $F(C) = \int_{\Omega_i} f$ avec Ω_i intérieur de C alors

$$\nabla_C F = f \vec{N} \quad (\vec{N} \text{ normale } \overset{\text{extérieure}}{\text{à } C})$$

• Si $F(C) = \int_C ds$ (= longueur de C !) alors

$$\nabla_C F = \kappa \vec{N} \quad (\kappa \text{ courbure signée})$$

4.2) Cas des contours actifs

Pour $E(C) = \int g(\|\nabla I\|) ds$ on trouve

$$\boxed{\nabla_C E = +g(\|\nabla I\|) \kappa \vec{N} + (\vec{\nabla} g \cdot \vec{N}) \vec{N}}$$

En pratique, on accélère la convergence en rajoutant une force dépendant d'une constante C_2 et en partant d'un C^0 entourant l'objet:

$$\begin{cases} C(t=0) = C^0 \\ \frac{\partial C}{\partial t} = (g(\kappa + C_2) - \vec{\nabla} g \cdot \vec{N}) \vec{N} \end{cases}$$

5) Régions actives

(4)

Lorsqu'on dispose d'un modèle de l'intérieur ou de l'extérieur du contour (par ex un a-priori sur les couleurs ou la texture de l'objet à segmenter ou du fond): $E = \int_C g d\sigma + \int_{\Omega_i} g_i dx + \int_{\Omega_e} g_e dx$

avec Ω_i (resp Ω_e) intérieur (resp. extérieur) de C et g_i g_e fonctions modèles.

Le gradient devient:

$$\left[\frac{\nabla E}{C} = g \kappa \vec{N} + (\vec{\nabla} g \cdot \vec{N}) \vec{N} + (g_i - g_e) \vec{N} \right]$$

NB: alors que le minimum global des contours actifs est la courbe vide, celui des régions actives ne l'est plus \rightarrow importance des termes de région!

6) Simulation

x Le pb se ramène à simuler $\left\{ C(t=0) = C^0; \frac{\partial C}{\partial t} = \vec{v} \right\}$ (1)

x Discrétiser $C(p,t)$ par un ensemble de sommets et faire $C[p,t+\Delta t] \leftarrow C[p,t] + \Delta t \vec{v}[p,t]$
n'est ni précis, ni stable.

x Level sets :

- On représente C par une fonction implicite $\varphi(x,y)$ nulle sur C , négative à l'intérieur et positive à l'ext.

$$\left[C(\cdot, t) = \{ (x,y) \mid \varphi(x,y,t) = 0 \} \right]$$

On peut montrer que (1) est équivalent à :

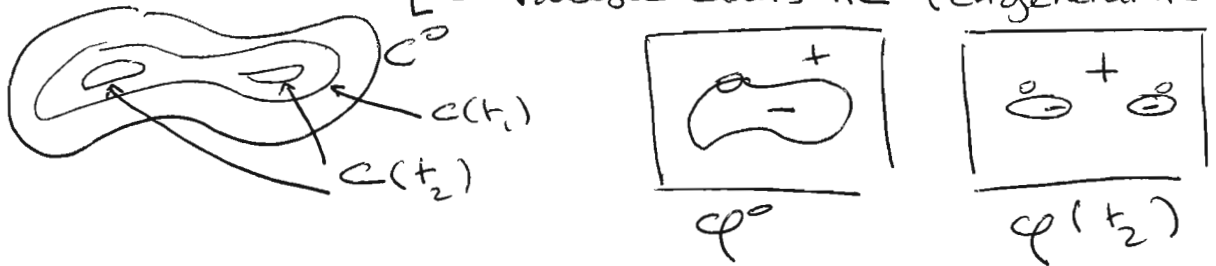
$$\left[\begin{array}{l} \varphi(x,y,0) = \varphi^0(x,y) \\ \frac{\partial \varphi}{\partial t}(x,y,t) = -\vec{v} \cdot \nabla \varphi \end{array} \right] (2)$$

(Si φ^0 est une rep. implicite de C^0)

Il suffit donc de discrétiser ϕ sur une grille régulière et d'implémenter un schéma numérique pour (2) adapté aux choix de \vec{v} . (5)

La méthode est :

- précise et stable
- gère les changements de topologie (i.e. split ou merge du contour)
- Valable dans \mathbb{R}^d (en général \mathbb{R}^3)



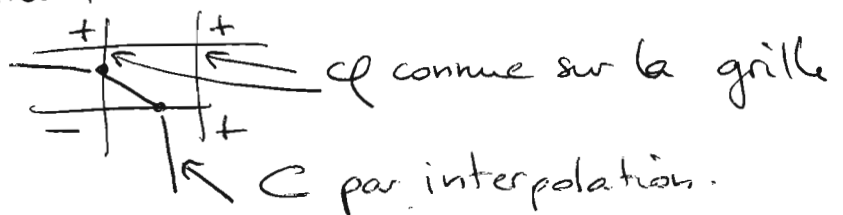
NB : il faut savoir passer de C à ϕ et réciproq⁺

1) $C \rightarrow \phi$ (normalement, seul^t pour C^0)

On choisit $\phi^0 = \underline{\text{distance signée à } C^0}$

2) $\phi \rightarrow C$ (pas à chaque pas de temps, mais quand on veut récupérer C pour l'afficher ou après convergence)

Algorithme des marching cubes qui fournit un maillage du niveau ϕ de ϕ avec une précision supérieure à la grille :



2) Graph Cuts

4

2.1) Coupes minimales

$G = (V, E)$ graphe orienté pondéré
 s, t deux sommets particuliers de V (source et puits)
 $w(p, q)$ poids de l'arête $(p, q) \in E$ ($w \geq 0$)

- une s, t -coupe C est une partition de V
en deux sous ensembles S et T avec $s \in S, t \in T$

- coût de la coupe:
$$c(C) = \sum_{\substack{p \in S \\ q \in T \\ (p, q) \in E}} w(p, q)$$

NB: on compte les arêtes de S vers T

→ Il existe des algorithmes polynomiaux pour calculer la coupe de coût minimal. Ils se ramènent à calculer le flot maximal de s vers t en identifiant $w(p, q)$ à des capacités (Ford-Fulkerson). Leur complexité au pire est en $O(n^3)$ mais linéaire en pratique, en particulier sur les graphes utilisés en computer vision (algorithme des "GraphCut" (Boykov et al.))

2.2) Segmentation binaire

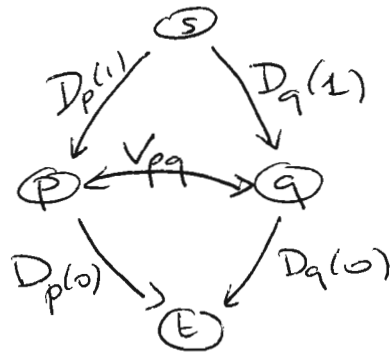
Le problème des régions actives peut se modéliser comme l'étiquetage des pixels p à $f_p = 0$ ou 1 ($0 = \text{intérieur}$, $1 = \text{extérieur}$) qui minimise

$$E(f) = \sum_p D_p(f_p) + \sum_{p, q \text{ voisins}} V_{pq} \mathbb{1}\{f_p \neq f_q\}$$

$$\text{avec } D_p(0) = g_i(p), D_p(1) = g_e(p), \quad V_{pq} = g\left(\frac{p+q}{2}\right)$$

Or, minimiser $E(f)$ revient à trouver la min-cut dans ce graphe :

(5)



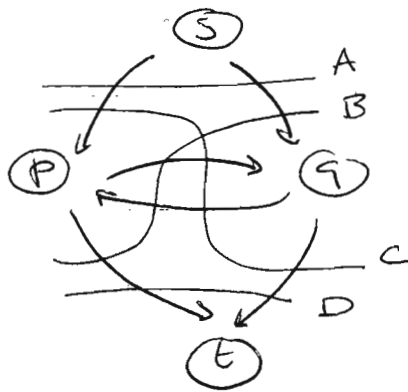
puis à faire : $f_p = 0$ si $p \in S$, $f_p = 1$ si $p \in T$

→ minimum global et rapide pour les régions actives ! (NB : le terme $\int g dx$ n'est que grossièrement approché. on peut l'approcher mieux avec des arcs supplémentaires)

2.3) Autres cas

a) Il est possible de construire un graphe pour un cas plus général $E(f) = \sum_p D_p(f_p) + \sum_{pq} V_{pq}(f_p, f_q)$ à condition que V_{pq} soit submodulaire :

$$V_{pq}(0,0) + V_{pq}(1,1) \leq V_{pq}(1,0) + V_{pq}(0,1) \quad (1)$$



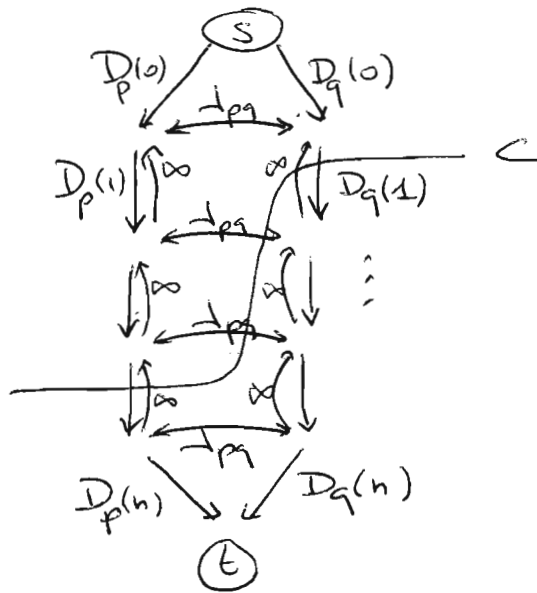
Il faut trouver les bons poids pour que les coupes A, B, C et D contiennent les valeurs d'énergie adéquates
 → ce n'est possible avec des poids ≥ 0 que si on a (1)

b) Cas où les étiquettes sont multiples ($f_p \in \{0, 1, \dots, n\}$)

et où $V_{pq}(f_p, f_q) = \frac{1}{p_q} |f_p - f_q|$

(6)

Il est encore possible, en rajoutant une dimension, de construire un graphe donnant l'optimum global



- f_p est attribué à la "hauteur" de la coupe dans la "colonne" de p
- Pour éviter qu'une colonne soit coupée plusieurs fois, on ajoute des arcs de poids ∞

NB: Le terme de régularisation en $|f_p - f_q|$ est essentiel. En particulier, il n'y a pas de solution pour $\{f_p \neq f_q\}$

c) Cas général : $f_p \in \mathcal{A} = \{\alpha, \beta, \dots\}$ fini

Si $V_{pq}(\cdot, \cdot)$ est une métrique alors il est possible d'utiliser la méthode de l'd-expansion. Pour \neq tes valeurs de $d \in \mathcal{A}$, on optimise progressivement f_p en un nouveau f'_p tel que $f'_p = f_p$ ou $f'_p = d$. Le choix du f'_p optimum est un choix binaire effectué par graph-cuts. Après convergence, on obtient un minimum local.

(NB: chaque itération est résolue de façon globalement optimale)

Séance 2
Géométrie Epipolaire

① Géométrie projective

(NB: - on note A^T la transposée
- \wedge est le produit vect.
- par rapport au cours, les v ont disparu)

1.1) \mathbb{P}^2 (plan projectif)

- Point: $(u, v) \rightarrow m = (u, v, 1)^T$ à $\lambda \neq 0$ près (coord. homogènes)
- Direction: $u\vec{i} + v\vec{j} \rightarrow m = (u, v, 0)^T$ (point à l' ∞)
- Droite $\ell = (a, b, c)^T$ avec $m \in \ell \Leftrightarrow m^T \ell = 0$

Propriétés:

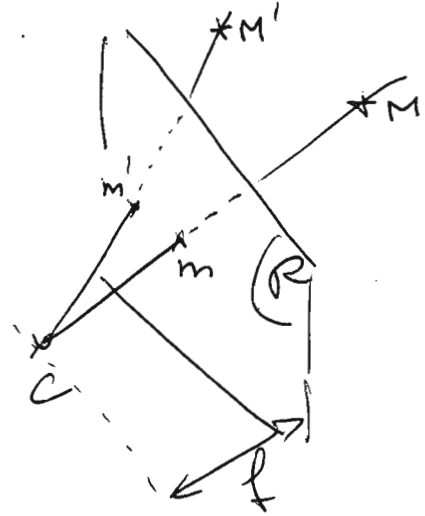
- i) m_1 et m_2 donnés, $m_1 \wedge m_2$ est la droite (m_1, m_2)
- ii) ℓ_1 et ℓ_2 donnés, $\ell_1 \wedge \ell_2$ est leur intersection même si elles sont //.
- iii) $\ell_\infty = (0, 0, 1)$ est la droite à l' ∞ ($(u, v, 0)^T \in \ell_\infty$)

1.2) \mathbb{P}^3 espace projectif

- Points $M = (X, Y, Z, T)^T$ à $\lambda \neq 0$ près
- $T = 0 \rightarrow$ points à l' ∞ (directions)
- $\pi = (a, b, c, d)^T$ plan ($M \in \pi \Leftrightarrow M^T \pi = 0$)
- Droites: coordonnées de Plücker (pas vu en cours)

2) Camera

Le modèle le + simple (pinhole camera)



- R: rétine
- C: centre optique
- M: point 3D
- m: image 2D
- f = distance focale

(i) Cas où $C=0$, $\mathcal{R}=\{z=1\}$ et le point $(x, y, 1)$ de \mathcal{R} est numérisé en (u, v) par le capteur.

Alors : $u = x/z$, $v = y/z$ ce qu'on peut écrire

$$m = \begin{pmatrix} I & 0 \\ \hline 3 \times 1 & 3 \times 4 \end{pmatrix} M \begin{matrix} \\ \\ \\ 4 \times 1 \end{matrix} \text{ en coordonnées homogènes}$$

(ii) Si maintenant $\mathcal{R}=\{z=f\}$ (focale $\neq 1$) alors

$$m = PM \text{ avec } P = \begin{pmatrix} f & 0 & 0 \\ 0 & f & 0 \\ 0 & 0 & 1 \end{pmatrix} \text{ car } u = f \frac{x}{z}, v = f \frac{y}{z}$$

(iii) Si on tient compte maintenant du changement de repère du capteur : $u = d_u \frac{x}{z} + u_0$, $v = d_v \frac{y}{z} + v_0$

$$\text{soit } P = \begin{pmatrix} d_u & 0 & u_0 \\ 0 & d_v & v_0 \\ 0 & 0 & 1 \end{pmatrix} \text{ (NB: } d_u = f / \text{larg. pixel, } d_v = f / \text{haut. pixel)}$$

(iv) Maintenant l'observateur se déplace \rightarrow $\begin{cases} R \text{ rotation} \\ t \text{ translation} \end{cases}$

$m = PM$ avec $P = K [R | t]$

$K = \begin{pmatrix} d_u & 0 & u_0 \\ 0 & d_v & v_0 \\ 0 & 0 & 1 \end{pmatrix} \rightarrow 6 \text{ param. extrinsèques}$

$\rightarrow 4 \text{ param. intrinsèques}$

3) Relations utiles

(NB: si pixels non rectangls (ie. \square) alors un 5^e param. intrinsèque)
(NB: On a négligé la distortion)

i) Rayon de m :

- en coord. non homogènes pour M et avec $P = (A | b)$

$$\lambda m = AM + b$$

et donc $M = \lambda A^{-1} m - A^{-1} b$

- en particulier, on a (avec $\lambda=0$ et $\lambda=\infty$) :

$$C = -A^{-1} b \text{ (coord. non homog.)}$$

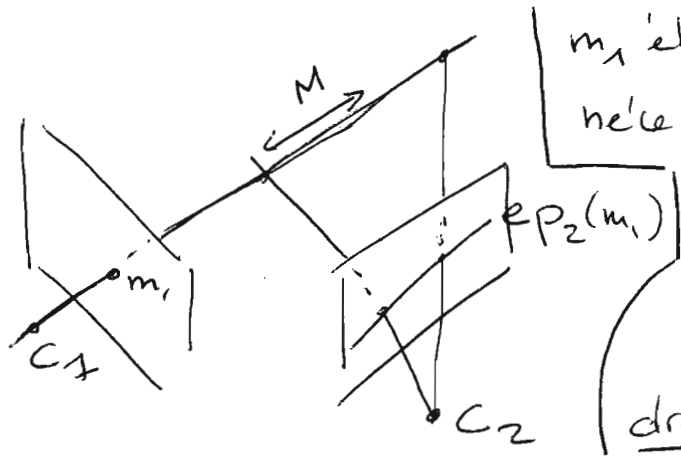
$A^{-1} m$ est la direction du rayon

ii) Les points du plan focal (plan // à \mathcal{R} passant par C) se projettent à l'infini, donc en $(u, v, 0)^T$
 → la troisième ligne de P est l'équation du plan focal. En particulier:

la troisième ligne de A est la normale à \mathcal{R}

4) Géométrie épipolaire

On a maintenant 2 caméras P_1 et P_2



m_1 étant donné, m_2 est nécessairement sur la projection du rayon $C_1 m_1$ dans l'image 2: c'est la droite épipolaire de m_1 dans 2

m_1 connu $\rightarrow m_2 \in ep_2(m_1) = P_2(C_1 m_1)$

Si $P_i = (A_i | b_i)$ alors:

• on cherche deux points du rayon $C_1 m_1$, que l'on projette

$$\left\{ \begin{array}{l} \times C_1 = \begin{pmatrix} -A_1^{-1} b_1 \\ 1 \end{pmatrix} \rightarrow e_2 = P_2 C_1 = \boxed{-A_2 A_1^{-1} b_1 + b_2 = e_2} \\ e_2 \text{ est l'épipôle } (\forall m_1, e_2 \in ep_2(m_1)) \\ \times M_\infty = \begin{pmatrix} A_1^{-1} m_1 \\ 0 \end{pmatrix} \rightarrow m_{2\infty} = P_2 M_\infty = A_2 A_1^{-1} m_1 \end{array} \right.$$

• on a alors $ep_2(m_1) = e_2 \wedge m_{2\infty} = [e_2]_\wedge A_2 A_1^{-1} m_1$
 en posant $\boxed{\begin{bmatrix} a \\ b \\ c \end{bmatrix}_\wedge = \begin{pmatrix} 0 & b & -c \\ -b & 0 & a \\ c & -a & 0 \end{pmatrix}}$

D'où finalement la relation symétrique:

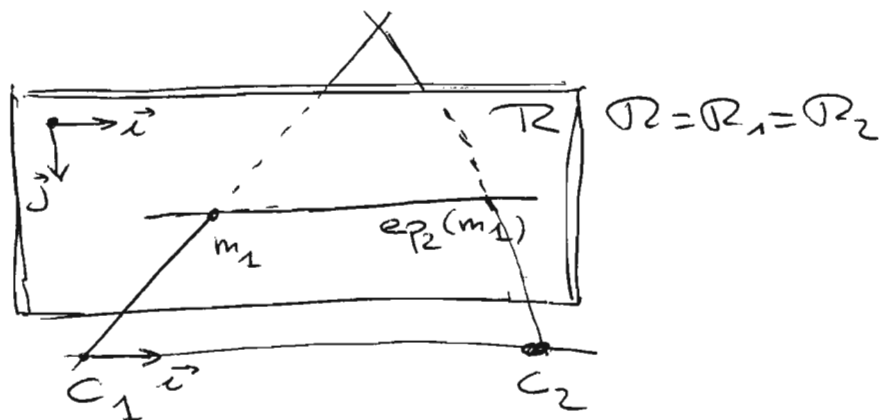
$m_2 \in ep_2(m_1) \Leftrightarrow m_1 \in ep_1(m_2) \Leftrightarrow m_2^T F_{21} m_1 = 0$
 avec $F_{21} = [e_2]_\wedge A_2 A_1^{-1}$ (matrice fondamentale)

1) Rectification

On se place ici dans le cas de deux caméras de matrices $P_i = (A_i | b_i)$ connues

1.1) Configuration canonique

Supposons que les deux caméras partagent la même rétine, le même repère sur la rétine, et la direction $\vec{C}_1 C_2$ comme horizontale de ce repère ($\vec{C}_1 C_2$ est donc une des directions de la rétine). Les épipolaires sont alors les horizontales!



Une telle configuration est très confortable :

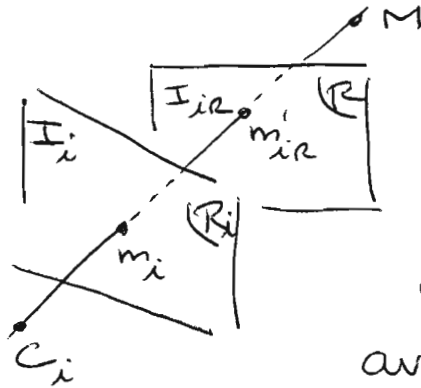
- (u_1, v_1) est associé à (u_2, v_1)
- on appelle $|d = u_2 - u_1|$ la disparité
- apparier les images revient à estimer $d(u, v_1)$
- les fenêtres de corrélation se correspondent d'avantage.

On va voir qu'il est toujours possible (sauf cas dégénérés) de se ramener a posteriori à ce cas canonique \rightarrow c'est la rectification

1.2) Principe

(2)

Il suffit de remarquer qu'on peut à posteriori calculer l'image qui aurait été obtenue en changeant la rétine d'un appareil, et ce, sans connaître la position 3D des points



Le point M a donné naissance à $I_i(m_i)$ dans R_i .

Avec R au lieu de R_i , il aurait généré $I_{ir}(m_{ir}) = I_i(m_i)$

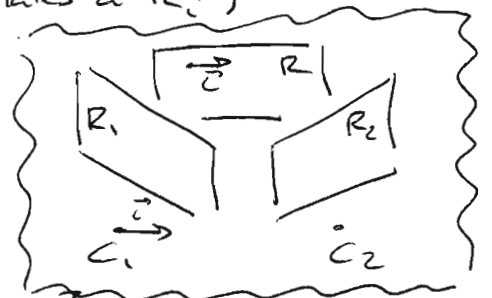
avec $m_{ir} = (C_{ir}) \cap R$

1.3) Calcul (NB: les points 3D sont ici en coord. non homogènes)

a) Plan R

On choisit pour R le plan (i) contenant $\vec{C}_1 \vec{C}_2$ et la direction $R_1 \cap R_2$ et (ii) passant par l'origine :

$$\begin{aligned} \bullet \vec{x} &= \frac{\vec{C}_1 \vec{C}_2}{\|\vec{C}_1 \vec{C}_2\|} & (\text{Rappel: } C_i &= -A_i^{-1} b_i) \\ \bullet \vec{n}_i &= \text{3ème ligne de } A_i \text{ (normales à } R_i) \\ \bullet \vec{j}' &= \vec{n}_1 \wedge \vec{n}_2 \\ \bullet \vec{k} &= \vec{x} \wedge \vec{j}' / \|\vec{x} \wedge \vec{j}'\| \\ \bullet \vec{j} &= \vec{k} \wedge \vec{x} \end{aligned}$$



R est alors le plan $\{M \cdot \vec{k} = 0\}$

b) Passage de $m_i = (u_i, v_i, 1)^T$ à $m_{ir} = (d, \beta)$ dans R

Il suffit d'intersecter (C_i, m_i) avec R :

résoudre
$$\begin{cases} M = \lambda A_i^{-1} m_i + C_i \\ M \cdot \vec{k} = 0 \end{cases}$$
 en λ , puis en M

Alors
$$|d = M \cdot \vec{x}, \beta = M \cdot \vec{j}|$$

c) Projections

(3)

- En réalité : (i) pour chaque image, on ramène (d, β) à des intervalles $[0, w] \times [0, h]$ (si les images initiales sont de dimension $w \times h$)
 (ii) on remplit I_{iR} à partir de I_i . Il faut savoir passer de m_{iR} à m_i

Au total :

* Pour $i=1,2$

- calculer $m_{iR} = (d, \beta)$ pour $m_i = (0,0)$ $(0,h)$ $(w,0)$ et (w,h)
- mémoriser les valeurs extrêmes d_{\min}^i d_{\max}^i β_{\min}^i β_{\max}^i

$$\beta_{\min} = \min(\beta_{\min}^1, \beta_{\min}^2), \quad \beta_{\max} = \max(\beta_{\max}^1, \beta_{\max}^2)$$

* Pour $i=1,2$

(NB: intervalle commun pour β)

Pour $u_R = 0 \rightarrow w$ et $v_R = 0 \rightarrow h$

$$\begin{cases} d = d_{\min}^i + (d_{\max}^i - d_{\min}^i) \frac{u_R}{w} \\ \beta = \beta_{\min} + (\beta_{\max} - \beta_{\min}) \frac{v_R}{h} \end{cases}$$

$$- M = d \vec{i} + \beta \vec{j} \quad (\text{NB: point 3D!})$$

$$- m_i = A_i M + b_i = (u_i, v_i, w_i)^T$$

$$- I_{iR}(u_R, v_R) \leftarrow I_i \left(\frac{u_i}{w_i}, \frac{v_i}{w_i} \right)$$

(NB: - interpoler dans I_i
 - attention: on peut tomber en dehors de l'image)

I | Mesure de photo consistance

- la plus courante est la corrélation croisée normalisée (NCC)
- Soit W un voisinage autour des pixels:

$$\left\{ \begin{aligned} \langle I_i, m_i, I_j, m_j \rangle &= \frac{1}{|W|} \sum_{w \in W} \left[(I_i(m_i+w) - \bar{I}_i(m_i)) \right. \\ &\quad \left. \times (I_j(m_j+w) - \bar{I}_j(m_j)) \right] \\ \text{avec } \bar{I}_i(m_i) &= \frac{1}{|W|} \sum_{w \in W} I_i(m_i+w) \end{aligned} \right.$$

$$\text{puis } \boxed{NCC(I_i, m_i, I_j, m_j) = \frac{\langle I_i, m_i, I_j, m_j \rangle}{(\langle I_i, m_i, I_i, m_i \rangle \langle I_j, m_j, I_j, m_j \rangle)^{1/2}}$$

On a $-1 \leq NCC \leq 1$. Plus NCC est grande, plus les "textures" autour de m_i et m_j sont "similaires".

- Si deux images sont reliées par une transformation affine, $NCC = 1$
- Limitations:
 - invariante seulement par translation
 - pb de l'ouverture: ambiguïtés, par ex. le long d'un contour

II | Points "saillants"

1- Points de Harris:

- G_σ gaussienne
- $H = \begin{pmatrix} (I_x)^2 * G_\sigma & (I_x I_y) * G_\sigma \\ (I_x I_y) * G_\sigma & (I_y)^2 * G_\sigma \end{pmatrix}$

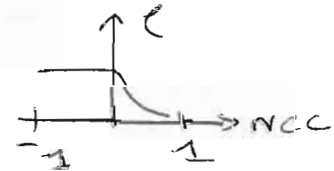
tenseur de structure. (I_x, I_y dérivés)

(NB: si $V(\cdot, \cdot)$ est une semi-métrique (i.e. ne vérifie pas l'inégalité triangulaire), il est possible de procéder par α - β swaps (échanger itérativement 2 étiquettes))

3) Application à la stéréovision et G Cubo

On suppose que les images sont rectifiées. Il n'y a plus qu'à estimer une disparité $d(u, v)$ optimale.

$$\left\{ \begin{array}{l} p = (u, v) \\ d_p \in \mathcal{D} = \{d_{\min}, \dots, d_{\max}\} \\ p, q \text{ voisins} \Leftrightarrow \text{voisins dans l'image} \\ \mathcal{D}_p(d_p) = \rho(\text{NCC}(I_1, p, I_2, p + (d_p, 0))) \\ \text{avec } \rho \text{ fn } \searrow \text{décroissante de la} \\ \text{corrélation NCC} \\ V_{pq}(d_p, d_q) = \lambda |d_p - d_q| \end{array} \right.$$



→ application directe de 2.3.b
(ou de 2.3.c si $V_{pq} = \lambda \mathbb{1}_{\{d_p \neq d_q\}}$)